

## TD N°4 - DIFFUSION THERMIQUE

## MINES PONTS PSI 2022 - Extrait

**Remarque historique :**

Cet exercice présente l'expérience originelle de Joseph Fourier de l'étude de la diffusion le long d'un anneau de fer torique. C'est notamment cette expérience qui lui a permis d'introduire pour la première fois la décomposition d'une fonction périodique en séries dites « de Fourier ».

On considère un matériau homogène assimilable à une répartition unidimensionnelle de matière selon un axe ( $Ox$ ). On rappelle l'équation de la diffusion thermique unidimensionnelle sans perte et sans terme source, donnant la température  $T(x,t)$  à l'abscisse  $x$  et au temps  $t$  dans le matériau :

$$\frac{\partial T}{\partial t} = D \frac{\partial^2 T}{\partial x^2}.$$

- – 15. Déterminer l'expression de la constante  $D$  en fonction de la masse volumique  $\mu$ , du coefficient de conductivité thermique  $\lambda$  et de la capacité thermique massique  $c$  du matériau considéré. On pourra raisonner par analyse dimensionnelle. En déduire l'expression du temps caractéristique de diffusion  $\tau$  sur une longueur  $L$ . Faire l'application numérique pour une diffusion dans le fer sur une longueur  $L = 50$  cm.

Joseph Fourier a étudié la diffusion thermique le long d'un anneau de fer torique, de rayon moyen  $R = 16$  cm et de section carrée de côté  $a \ll R$ . L'anneau est chauffé en un point pris comme origine des angles  $\theta = 0$  dans une base cylindrique puis on suit l'évolution de la température à différents instants et pour différentes valeurs de l'angle  $\theta$ .

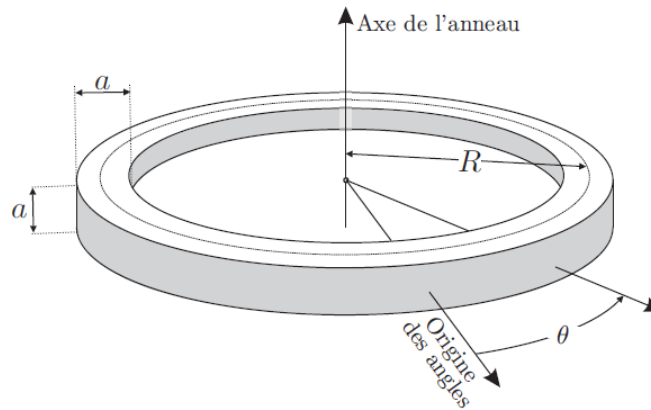


FIGURE 3 – Géométrie du problème étudié par Fourier : le tore à section carrée.

On notera  $T(\theta,t)$  la température de l'anneau, supposée uniforme sur une section droite. On choisira  $\theta \in ]-\pi; \pi]$  et on admettra que, par symétrie,  $T(-\theta,t) = T(\theta,t)$ .

Le flux thermique conducto-convectif  $\delta\Phi$  sortant à travers une surface  $dS$  de l'anneau de fer vers l'air environnant (de température  $T_e$  constante) est modélisé par la loi de Newton

$$\delta\Phi = h(T(\theta,t) - T_e)dS,$$

dans laquelle le coefficient d'échange thermique  $h$  est supposé constant.

On rappelle l'expression du gradient en coordonnées cylindriques :

$$\vec{\text{grad}} T = \frac{\partial T}{\partial r} \hat{e}_r + \frac{1}{r} \frac{\partial T}{\partial \theta} \hat{e}_\theta + \frac{\partial T}{\partial z} \hat{e}_z.$$

- – 16. Rappeler la loi de Fourier pour la diffusion thermique. En déduire l'expression du vecteur densité de courant thermique  $\vec{j}_{\text{th}}$  puis dessiner l'allure des lignes de champ le long de l'anneau, en précisant leur orientation.

Pour établir l'équation décrivant l'évolution de la fonction  $T(\theta, t)$  dans l'anneau, on considère le volume élémentaire  $dV$  compris entre deux sections de surface  $a^2$  de l'anneau, repérées par les angles  $\theta$  et  $\theta + d\theta$ .

- – 17. Déterminer les expressions approchées de  $dV$  ainsi défini et de la surface élémentaire  $dS_{\text{lat}}$  de son contact avec l'air. On rappelle que  $a \ll R$ . En déduire que  $T(\theta, t)$  vérifie l'équation

$$\frac{\lambda}{R^2} \frac{\partial^2 T}{\partial \theta^2} - \frac{4h}{a} (T - T_e) = \mu c \frac{\partial T}{\partial t}.$$

- – 18. Donner, en régime stationnaire, et en fonction de  $T_e$ ,  $R$ ,  $\theta$  et de  $\delta = \sqrt{\frac{a\lambda}{4h}}$ , la forme de la solution  $T(\theta)$ . On introduira deux constantes d'intégration  $A$  et  $B$  sans chercher à les déterminer pour l'instant. Préciser, en le justifiant, la dimension de la grandeur  $\delta$ .

- – 19. On donne sur la figure 4 l'allure de la représentation graphique associée aux solutions  $T(\theta)$  et  $j_{\text{th}}(\theta)$  (pour  $r$  fixé). On note  $T_1 = T(\theta = 0)$  la valeur, imposée par le chauffage, en  $\theta = 0$ . Commenter ces deux graphes puis les exploiter judicieusement pour déterminer, sur l'intervalle  $[0, +\pi]$ , les constantes  $A$  et  $B$  introduites précédemment, en fonction de  $T_1$ ,  $T_e$ ,  $R$  et  $\delta$ . En déduire la solution  $T(\theta)$  sur l'intervalle  $[0, +\pi]$ .

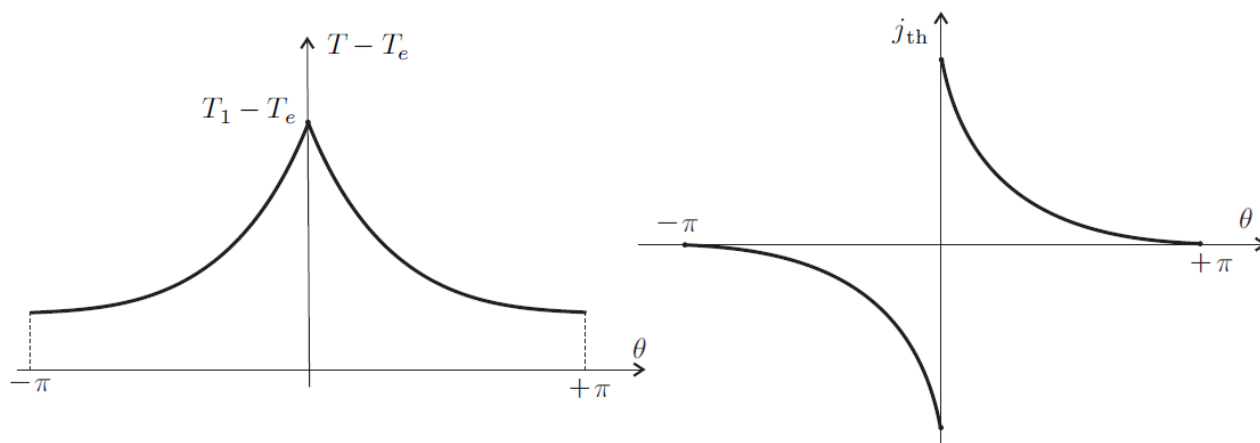


FIGURE 4 – Graphe des solutions : Différence de température à gauche, flux thermique surfacique à droite.

- – 20. Sur les relevés expérimentaux de Joseph Fourier du 31 juillet 1806, on lit que deux heures après le début du chauffage, les valeurs de températures des différentes sections de l'anneau sont stationnaires. Montrer que cet ordre de grandeur était prévisible à condition de supposer le phénomène de diffusion prépondérant en régime transitoire.

C'est en étudiant la diffusion thermique dans le dispositif expérimental décrit précédemment que Joseph Fourier découvrit les séries trigonométriques, dites « séries de Fourier ». L'anneau est chauffé comme précédemment en  $\theta = 0$  puis enfoui presque complètement dans du sable, excellent isolant thermique. On suppose qu'il n'y a aucune fuite thermique par la surface latérale

de l'anneau une fois que celui-ci est enfoui dans le sable et que la température reste de la forme  $T(\theta, t)$ . On s'intéresse toujours au domaine  $\theta \in ]-\pi; \pi]$ , avec  $T(-\theta, t) = T(\theta, t)$  par symétrie.

- – 21. Donner l'équation vérifiée par  $T(\theta, t)$ . On cherche les solutions à variable séparée de la forme  $T_n(\theta, t) = f_n(\theta) g_n(t)$ . L'interprétation de l'indice  $n$  apparaîtra dans la donnée de la condition initiale nécessaire à la résolution complète de l'équation. Déterminer les expressions générales de  $f_n(\theta)$  et  $g_n(t)$  puis montrer que  $T_n(\theta, t)$  s'écrit sous la forme

$$T_n(\theta, t) = B_n \cos\left(\frac{R\theta}{d_n}\right) e^{-t/\tau_n}.$$

On donnera la relation entre  $\tau_n$  et  $d_n$  et on précisera leurs dimensions respectives.

- – 22. À l'instant  $t = 0$ , la température initiale d'une section repérée par l'angle  $\theta$  est une fonction  $T_0(\theta)$ , symétrique, de période  $2\pi$  et dont le développement en série de Fourier est de la forme

$$T_0(\theta) = T_m + \sum_{n=1}^{\infty} b_n \cos(n\theta).$$

Les coefficients  $b_n$  sont supposés connus. Que représente la constante  $T_m$ ? Justifier précisément pourquoi la solution générale  $T(\theta, t)$  peut se mettre sous la forme

$$T(\theta, t) = T_m + \sum_{n=1}^{\infty} T_n(\theta, t).$$

Expliciter  $B_n$ ,  $d_n$  et  $\tau_n$  en fonction de  $b_n$ ,  $n$ ,  $R$ ,  $\mu$ ,  $c$  et  $\lambda$ .

- – 23. Joseph Fourier remarque, en mesurant la température en fonction du temps en différents points de l'anneau, que  $T(\theta, t) - T_m$  devient rapidement proportionnel à  $\cos(\theta)$ . Commenter cette constatation.

## Données numériques

- Masse volumique de l'air :  $\mu_0 = 1,0 \text{ kg} \cdot \text{m}^{-3}$ .
- Capacité thermique massique du fer :  $c = 4,0 \times 10^2 \text{ J} \cdot \text{kg}^{-1} \cdot \text{K}^{-1}$ .
- Masse volumique du fer :  $\mu_f = 7,9 \times 10^3 \text{ kg} \cdot \text{m}^{-3}$ .
- Conductivité thermique du fer :  $\lambda = 80 \text{ W} \cdot \text{m}^{-1} \cdot \text{K}^{-1}$ .
- Coefficient conducto-convectif à l'interface fer-air :  $h = 10 \text{ W} \cdot \text{m}^{-2} \cdot \text{K}^{-1}$ .